

秋田大学 正加賀谷 誠
正徳田 弘
正川上 潤

まえがき 各種多様な細骨材の使用傾向に伴い配合やワーカビリティーに及ぼすその粒子性状の影響が問題となっている。細骨材の種類の多様化への対応および骨材資源の有効利用の観点から粒子性状について研究することは重要であると思われる。本研究は、細骨材の粒度、比表面積および形状をそれぞれ定量化し、これらが各種水セメント比のモルタルの単位水量に及ぼす影響について検討を加え、さらに、これらの粒子性状を総括的なパラメータによって評価してそれと単位水量の一般化した関係を求め、若干の考察を加えたものである。

方法 実験に使用した細骨材の種類はガラスビーズG、川砂N、人工輕量砂C、および碎砂Cである。これらの細骨材を単粒度と混合粒度に粒度調整した。すなわち、単粒度については $0.15 \sim 0.3$, $0.3 \sim 0.6$, $0.6 \sim 1.2$ および $1.2 \sim 2.5\text{mm}$ の粒径ごとに分離した。混合粒度については粗粒率が 1.75 , 2.00 , 2.41 , 3.43 および 3.57 となるように混合した。これら各種の細骨材と普通ポルトランドセメントを用いて作製したモルタルのW/Cは 0.35 , 0.4 , 0.5 , 0.6 および 0.7 であって、そのフロー値は 205 ± 5 である。細骨材粒子の比表面積はTalbotの実験式を用いて算定した。算定において必要とされる形状係数YはLondonの実験で得られた実験式 $Y = 1 + 4.44(e - 0.42)$ を用いた。この中でeは容器にゆるく詰めた状態の骨材の空隙率であって、本研究では、細骨材の単位容積重量試験で用いられる容器に水を満たした後この中に細骨材を注ぎ込み水中における実積率を測定し、この結果から空隙率eをもじめた。細骨材粒子の形状を似球率を用いて評価した。すなわち、各粒径の代表的な試料についてスライドプロジェクターを用いて投影像の輪郭線を描き、投影像の近似面積と投影像の最小外接円の面積との比から似球率を求めた。得られた似球率の値はN: $0.5 \sim 0.6$, L: $0.45 \sim 0.5$, C: $0.4 \sim 0.45$ 程度であった。

結果 図1は細骨材のFMと標準粒度範囲内にあるFM2.41の砂を用いたモルタルの単位水量を1とした単位水量比との関係をW/Cごとに示したものである。FMの増加に伴い単位水量比が減少する傾向が認められるが、その傾向はW/Cが0.4以上のモルタルにおいて顕著である。W/Cが0.4以下の配合ではFMの変化が単位水量に及ぼす影響が少なくななるようである。図2～3はガラスビーズの比表面積を1とした比表面積比および似球率とガラスビーズを用いたモルタルの単位水量を1とした単位水量比との関係を一例としてFM2.41の砂を用いた場合についてW/Cごとに示したものである。比表面積比の増加および似球率の減少に伴う単位水量比の増加がW/C=0.35のモルタルよりW/C=0.4以上のそれで著しくなることが認められる。以上の結果から、所の粗粒率、比表面積および形状などの粒子性状の変化による単位水量の変動は、0.4以下のよう密

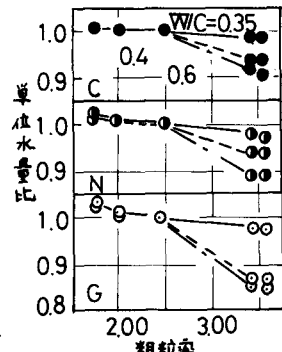


図1 粗粒率と単位水量比の関係

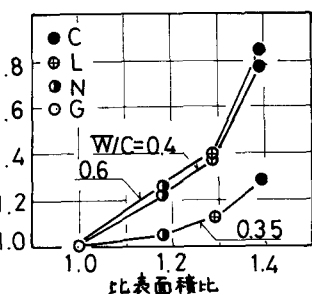


図2 比表面積比と単位水量比の関係

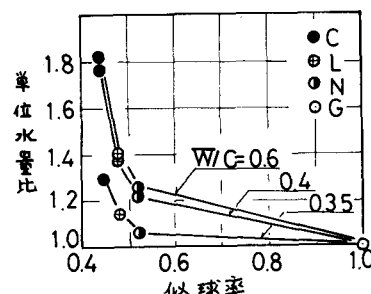


図3 似球率と単位水量比の関係

配合では負配合の場合より小さくなると考えられる。図4は、一例として、モルタル中の細骨材の実積率と単位容積重量試験から求められる実積率の比 S_i/G_i と単位水量の絶対容積 W との関係を示したものである。これらの関係は、ワーカビリティが一定のモルタルにおける細骨材量と単位水量の関係を示すと同時に、粒子性状の異なる細骨材を用いた時の単位水量の相対的な変化の程度を示しており、ほぼ直線関係にあることが認められる。

これらの直線の傾きの絶対値を K とし、細骨材の下M、比表面積および似球率などの粒子性状を統括的に示すパラメータと考案粒状係数とした。図4における直線関係は一般に $W = -K S_i/G_i + 0.509 \dots (1)$ で示される。図5～7は、一例として、 $K \times F_M$ 、比表面積および似球率の関係を示したものである。粗粒率が増すのに伴い K も増す傾向にあり、比表面積が増加するに伴い K は減少する傾向にある。また、似球率が1に近づくに伴い K は増加する傾向にある。これらのことよ

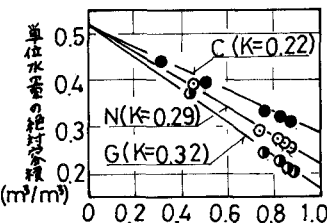


図4 W/C と単位水量の絶対容積の関係

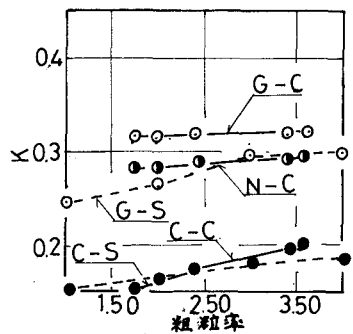


図5 粗粒率と K の関係

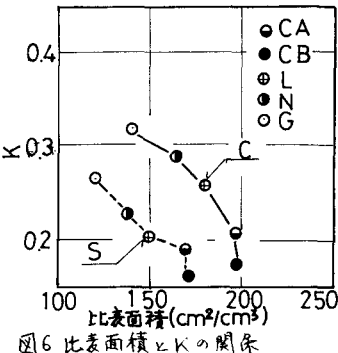


図6 比表面積と K の関係

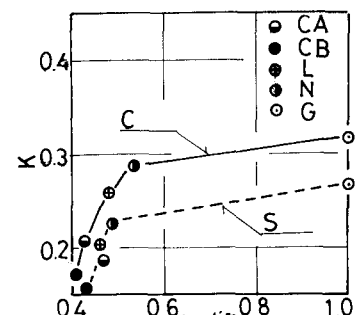


図7 似球率と K の関係

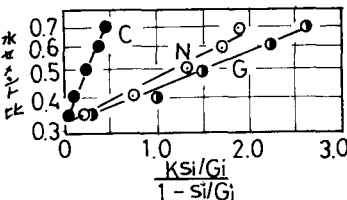


図8 W/C と $KSi/Gi / (1-Si/Gi)$ の関係

り、 K と砂の粒子性状との間には相間関係があることが確認できた。 K と単位水量の一般的な関係を W/C ごとに求めるため、図8に、一例として、 $KSi/Gi / (1-Si/Gi)$ と W/C の関係を片対数で示す。本研究で使用した41種類の細骨材を用いたモルタルにおけるこの関係はそれぞれ直線関係にあり、その相関係数は0.96～0.99の範囲にあった。また、それらの直線式における切片 A はモルタルと等しいワーカビリティーのセメントペーストの W/C を示しておりその値は約0.33である。これらの直線式は傾きを A として、 $\log(W/C) = AKSi/Gi / (1-Si/Gi) + B \dots (2)$ で示される。(2)式を一般化するため、図9に本実験で得られたすべての K と A の関係を示す。この関係から A を K の2次式で近似し(2)式に代入することにより(1)次式が得られる。 $\log(W/C) = 0.943K + 4.7K^2 - 3.1K + 5.5 / Si/Gi / (1-Si/Gi) - 1.103 \dots (3)$ 図10は(1)と(2)式から K と単位水量の絶対容積の関係を W/C ごとにまとめたものである。この関係から得られた計算値と実験値との誤差は±10%以内であった。本研究で使用した砂の K は石碎砂0.15～0.2、川砂および工場砂0.2～0.3であり、この範囲における単位水量の変動は W/C が小さ

図7 K と A の関係

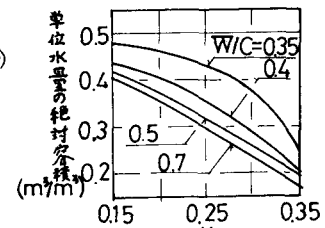


図10 K と単位水量の絶対容積の関係

いほど小さく、特に、 K が0.15～0.2の範囲ではそれが顕著である。このことから、 W/C が0.4以下の高配合では粒子性状が単位水量の変動に及ぼす影響が少なく、粒子性状の劣る細骨材の使用も可能になると思われる。